



**Негосударственное частное образовательное учреждение
высшего образования
«Технический университет УГМК»**

**МЕТОДИЧЕСКИЕ РЕКОМЕНДАЦИИ К ВЫПОЛНЕНИЮ
ПРАКТИЧЕСКИХ РАБОТ ПО ДИСЦИПЛИНЕ**
ПРОВЕДЕНИЕ И КРЕПЛЕНИЕ ГОРНЫХ ВЫРАБОТОК

Специальность	21.05.04 Горное дело
Направленность (профиль)	Подземная разработка рудных месторождений
Уровень высшего образования	Специалитет <i>(бакалавриат, специалитет, магистратура)</i>

Автор - разработчик: Волков П.В., канд. техн. наук, доцент
Рассмотрено на заседании кафедры разработки месторождений полезных ископаемых
Одобрено Методическим советом университета 30 июня 2021 г., протокол № 4

г. Верхняя Пышма
2021

ПРАКТИЧЕСКАЯ РАБОТА № 1

ВЫБОР СПОСОБА И ТЕХНОЛОГИЧЕСКОЙ СХЕМЫ ПРОВЕДЕНИЯ ГОРНОЙ ВЫРАБОТКИ

Цель работы: приобретение студентами практических навыков по выбору формы и размеров поперечного сечения горизонтальных и наклонных выработок.

Задачи работы:

- выбор формы поперечного сечения горной выработки;
- определение размеров поперечного сечения горной выработки геометрическим и аналитическим способами;
- проверка горной выработки по количеству и допустимой скорости движения воздуха.

Нормативная база:

Федеральные нормы и правила в области промышленной безопасности "Правила безопасности при ведении горных работ и переработке твердых полезных ископаемых" Приказ Ростехнадзора от 11.12.2013 № 599 (ред. от 21.11.2018) (ФНиП ПБ при ВГР и ПТПИ)

1. ТЕОРЕТИЧЕСКИЕ СВЕДЕНИЯ

1.1. Выбор формы и определение размеров поперечного сечения горизонтальных и наклонных выработок

При выборе формы поперечного сечения горной выработки учитывают следующие факторы:

- физико-механические свойства пересекаемых пород;
- величину горного давления и его направление;
- размеры выработки;
- назначение и срок службы выработки;
- конструкцию и материал крепи.

При подземной разработке месторождений полезных ископаемых наибольшее распространение получили *прямоугольно-сводчатая, арочная и трапециевидная* формы поперечного сечения выработок.

Размеры поперечного сечения горной выработки в свету (ширина и высота) зависят от:

- назначения и формы поперечного сечения выработки;
- типа крепи (регламентирует зазоры между горношахтным оборудованием и крепью);
- габаритных размеров эксплуатационного горношахтного оборудования, перемещающегося в выработке;
- допустимыми зазорами между горношахтным оборудованием и крепью (**ФНиП ПБ при ВГР и ПТПИ п. 87-89**)
- количества рельсовых путей (при наличии);
- способа перемещения людей по выработке;
- количества проходящего по выработке воздуха (**ФНиП ПБ при ВГР и ПТПИ п.**

Размеры поперечного сечения горной выработки определяются двумя способами: *графическим и аналитическим*.

Для определения размеров поперечного сечения горной выработки *графическим* способом необходимы следующие исходные данные:

- тип и размеры транспортного и другого оборудования, перемещающегося в данной выработке;
- основные регламентируемые размеры: высота подвески контактного провода, расстояние от контактного провода до крепи, ширина прохода для людей и др.;
- регламентируемые зазоры между транспортным оборудованием и между последним и постоянной крепью;
- размеры некоторых выработок в свету (минимальная высота выработки прямоугольной и трапециевидной форм и др.).

Сущность графического способа определения размеров поперечного сечения выработки состоит в следующем.

1. На лист бумаги в масштабе наносят:
 - максимальные габаритные размеры (высоту и ширину) транспортного и другого оборудования, работающего в данной выработке (электровоз, вагонетка, погрузочно-транспортная (доставочная) машина или бурильная установка и т.п.);
 - зазоры и расстояния между отдельными транспортными машинами, между последними и постоянной крепью выработки, предусмотренные ФНиП ПБ при ВГР и ПТПИ.
2. Вокруг размещенных в сечении выработки транспортных машин очерчивают контур выработки, соответствующий принятой форме её поперечного сечения.
3. Используя формулы геометрии или эмпирические зависимости, находят площадь поперечного сечения и другие размеры выработки в свету.

На рисунке 1 показаны допустимые зазоры при выборе размеров поперечного сечения выработок.

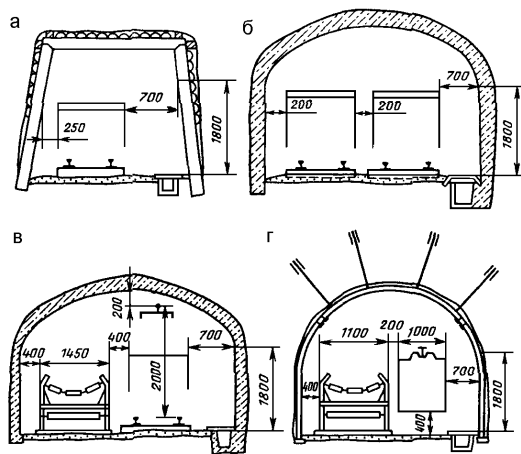


Рисунок 1 - Допустимые зазоры при выборе размеров поперечного сечения выработок: а – однопутевая; б – двухпутевая; в – однопутевая с ленточным конвейером; г – конвейерная с монорельсовым транспортом.

Области эффективного применения рудничных электровозов и вагонеток приведены в табл. 1.

Таблица 1 - Области эффективного применения рудничных электровозов и вагонеток

Производственная мощность рудника, млн.т./год	Ширина колеи, мм	Сцепной вес электровоза, кН	Вместимость вагонетки, м ³
До 0,3	600	70	0,7
0,3 ÷ 0,5	600 или 750	70 или 100	1,0 ÷ 2,2
0,5 ÷ 1,0	750	100	2,2 ÷ 2,5
1,0 ÷ 3,0	750	140	2,5 ÷ 4,0
Более 3,0	750 или 900	280	4,0 ÷ 9,5

Ширина горной выработки при использовании в ней самоходных машин (рис. 2) определяется по формуле:

$$B = a + A + C, \text{ мм.} \quad (1)$$

где а - ширина пешеходной дорожки, мм; А - ширина проезжей части, мм; С - минимальное расстояние между краем проезжей части и стенкой выработки, мм.

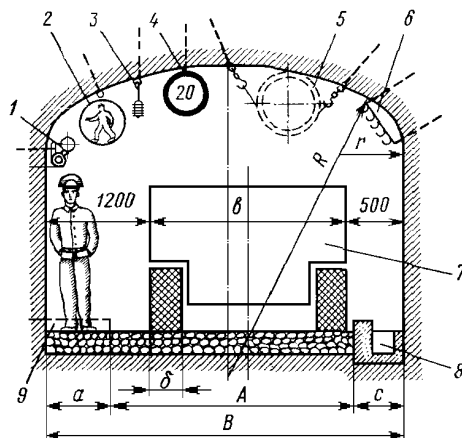


Рис. 2. Сечение транспортной выработки при эксплуатации в ней самоходных машин: 1 – магистрали сжатого воздуха и воды; 2 – знак "Пешеходная дорожка"; 3 – подвеска светильников; 4 - знак "Ограничение скорости"; 5 – вентиляционная труба; 6 – подвеска кабелей; 7 – самоходная машина; 8 – водоотливная канавка; 9 – тротуар; А – ширина проезжей части; В – ширина выработки в свету; а – ширина пешеходной дорожки; б – ширина машины; с – минимальное расстояние между краем проезжей части и стенкой выработки; δ – ширина профиля покрышки машины

Для определения размеров поперечного сечения горной выработки *аналитическим* способом необходимы следующие исходные данные:

- грузооборот полезного ископаемого в данной выработке;
- допустимая скорость движения воздуха по данной выработке.

Аналитический способ определения размеров поперечного сечения горной выработки сводится к проверке полученного графическим способом значения площади

поперечного сечения выработки по допустимой **ФНиП ПБ при ВГР и ПТПИ** скорости движения воздуха:

$$Q_{\text{в}} / (\phi S_{\text{св}}) \leq V_{\text{д}}, \text{ м/с}, \quad (2)$$

где $Q_{\text{в}}$ - расход воздуха в выработке, $\text{м}^3/\text{с}$; ϕ - коэффициент, учитывающий загромождение выработки, доли ед. (принимается 0,8); $S_{\text{св}}$ - площадь поперечного сечения выработки в свету, м^2 ; $V_{\text{д}}$ - максимально допустимая по ФНиП ПБ при ВГР и ПТПИ п. 156 скорость движения воздуха по выработке, м/с .

В случае несоблюдение условия (2) площадь поперечного сечения выработки необходимо увеличить.

Максимально допустимая скорость движения воздуха в выработках:

- в очистных и подготовительных выработках - 4 м/с ;
- в квершлагах, вентиляционных и главных откаточных штреках, капитальных уклонах - 8 м/с ;
- в остальных выработках - 6 м/с ;
- в главных вентиляционных штреках - 10 м/с .

Расход воздуха по разжижению вредных компонентов выхлопных газов самоходных машин с двигателями внутреннего сгорания, $\text{м}^3/\text{с}$:

$$Q_{\text{в}} = (k_h \cdot q_h \cdot n \cdot N_{\text{дв}}) / 60 \quad (3)$$

где k_h – коэффициент одновременности работы дизельных машин, доли ед.(1 машина $k_h=1$; 2 машины $k_h=0,9$; 3 и более $k_h=0,85$); q_h – норматив подачи количества воздуха на 1 л.с., $\text{м}^3/\text{мин}$ (принимается 5 $\text{м}^3/\text{мин}$ на 1 л.с.); n – количество одновременно работающих машин, шт; $N_{\text{дв}}$ – мощность ДВС, л.с.

Расход воздуха по суточной добыче, $\text{м}^3/\text{с}$:

$$Q_{\text{в}} = (q_{\text{в}} \cdot A_{\text{сут}} \cdot z) / 60 \quad (3)$$

где $q_{\text{в}}$ – необходимое количества воздуха на 1 т суточной добычи, $\text{м}^3/\text{мин}$ (принимается $q_{\text{в}} = 1 \text{ м}^3/\text{мин}$); z – коэффициент запаса воздуха, доли ед ($z=1,2$).

Расход воздуха по другим выработкам определяется с учетом схемы вскрытия конкретного месторождения.

2. ПОРЯДОК ВЫПОЛНЕНИЯ РАБОТЫ

1. По лабораторным макетам и лекциям изучить формы поперечного сечения горизонтальных и наклонных выработок.
2. По заданным преподавателем исходным данным выбрать форму поперечного сечения выработки.
3. Определить необходимые размеры поперечного сечения выработки.
4. Проверить принятное сечение выработки по допустимой по ВГР и ПТПИ скорости движения воздуха. В случае, если расчётная скорость движения воздуха превысит допустимую, необходимо принять большее сечение выработки и повторить проверку.
6. Начертить в масштабе проектное поперечное сечение горной выработки.

Определение технической производительности ПДМ, автосамосвалов и их потребного количества

Техническая производительность ПДМ , т/ч

$$Q_{\text{тд}} = 6 \cdot \frac{V_k \cdot k_{\text{нк}} \cdot 10 \cdot \gamma}{t_{\text{ц}} \cdot k_p}$$

где V_k – объем ковша ПДМ, м³; $k_{\text{нк}}$ – коэффициент, учитывающий наполнение ковша, доли ед. ($k_{\text{нк}}=0,9$); $t_{\text{ц}}$ – продолжительность цикла, мин; γ – средний удельный вес руды (породы), т/м³; k_p – коэффициент разрыхления руды, доли ед.(1,2-1,7).

$$t_{\text{ц}} = t_{\text{н}} + t_{\text{разг}} + k_d \cdot (t_r + t_{\text{п}})$$

где $t_{\text{н}}$ - время наполнения ковша, мин.; $t_{\text{разг}}$ – время разгрузки ковша, мин; t_r – время движения с грузом, мин; $t_{\text{п}}$ – время движения порожняком, мин; k_d – коэффициент неравномерности движения, доли ед. ($k_d=1,2$)

$$t_{\text{н}} = 0,75 \cdot k_{\text{н}}$$

где $k_{\text{н}}$ – коэффициент, учитывающий выход негабарита, доли ед. ($k_{\text{н}}=1,2$)

$$t_{\text{разг}} = 0,5 \cdot k_{\text{м}}$$

где $k_{\text{м}}$ – коэффициент, учитывающий маневры при разгрузке, доли ед. ($k_{\text{м}}=1,4$)

$$t_r + t_{\text{п}} = 0,12 \cdot \frac{L_d}{V_{\text{ср}}}$$

где L_d – длина доставки, м; $V_{\text{ср}}$ – средняя скорость движения ПДМ, км/ч.

$$V_{\text{ср}} = 0,575 \cdot L_d^{0,424} \cdot k_{\text{ду}}$$

где $k_{\text{ду}}$ – коэффициент, учитывающий дорожные условия, доли ед. ($k_{\text{ду}}=1$)

Эксплуатационная производительность ПДМ ,т/смен

$$Q_d = Q_{\text{тд}} \cdot k_r \cdot (T_{\text{см}} - T_{\text{пз}})$$

где k_r – коэффициент использования ПДМ, доли ед. ($k_r=0,95$); $T_{\text{см}}, T_{\text{пз}}$ – продолжительность смены и пауз во время смены ,ч. ($T_{\text{см}}=6\text{ч}, 7,2\text{ч}, 10,5\text{ч}, 12\text{ ч.}$; $T_{\text{пз}} = 30 - 40\text{мин. в формуле – в часах}$)

Количество одновременно работающих ПДМ на очистных работах

$$n = \frac{A_{\text{смен}}}{Q_d}$$

Принимается $n_{\text{общ}}=n+(2$ или 3 машины на подготовительных и вспомогательных работах)

Сменная эксплуатационная производительность автосамосвала, т/смен

$$Q_{\text{см}} = \frac{6 \cdot V_{\text{кз}} \cdot 10 \cdot \gamma \cdot k_{\text{нк}} \cdot k_r \cdot (T_{\text{см}} - T_{\text{пз}})}{t_p \cdot k_p}$$

где V_{kz} – вместимость кузова, м³; K_{hk} – коэффициент использования грузоподъемности автосамосвала, доли ед. ($K_{hk}=1$); T_{cm} – продолжительность смены; T_{pz} – продолжительность подготовительно-заключительных операций, ч; t_p – продолжительность одного рейса автосамосвала, мин.

$$t_p = t_h + t_{разг} + t_{ож} + k_d \cdot (t_r + t_n)$$

где t_h – время наполнения кузова (погрузки автосамосвала), мин; $t_{разг}$ – время разгрузки автосамосвала, мин; $t_{ож}$ – время ожидания у пункта погрузки и выгрузки, мин; k_d – коэффициент неравномерности движения, доли ед.; t_r – время движения с грузом, мин; t_n – время движения без груза, мин.

$$t_h = \frac{V_{kz} \cdot K_{hk}}{Q_{пдм}}$$

где $Q_{пдм}$ – производительность ПДМ, м³/мин.

$$t_r = 60 \cdot \frac{L_{tp}}{V_r}$$

где L_{tp} – общая протяженность трассы, км., V_r – скорость движения с грузом, км/ч – можно принимать 10км/ч)

Расчетное число автосамосвалов, шт.:

$$N_p = \frac{A_{смен}}{Q_{cm}}$$

ПРАКТИЧЕСКАЯ РАБОТА № 2

РАЗРАБОТКА ПАСПОРТА БУРОВЗРЫВНЫХ РАБОТ

Цель работы: приобретение студентами практических навыков по проектированию паспорта буровзрывных работ (БВР) для горизонтальных и наклонных выработок.

Задачи работы:

- расчет удельного расхода взрывчатого вещества (ВВ) для конкретных горно-геологических условий;
- определение линии наименьшего сопротивления (ЛНС);
- составление паспорта БВР и определение балансов теоретического и фактического удельного расхода ВВ.

Нормативная база:

а) Федеральные нормы и правила в области промышленной безопасности "Правила безопасности при ведении горных работ и переработке твердых полезных ископаемых" Приказ Ростехнадзора от 11.12.2013 № 599 (ред. от 21.11.2018) (ФНиП ПБ при ВГР и ПТПИ);

б) Федеральные нормы и правила в области промышленной безопасности "Правила безопасности при взрывных работах" Приказ Ростехнадзора от 16.12.2013 N 605 (ред. от 30.11.2017) (ФНиП ПБ при ВР).

1. ТЕОРЕТИЧЕСКИЕ СВЕДЕНИЯ

Эффективность буровзрывных работ, т.е. качественное дробление породы, точное оконтуривание профиля выработки, снижение сейсмического влияния взрыва как фактора, обеспечивающего большую устойчивость выработки, кучная укладка породы у забоя после взрыва и повышение таких показателей, как коэффициент использования шпуров (к.и.ш.) и коэффициент излишка сечения (к.и.с.), зависит от правильного проектирования **параметров буровзрывных работ** (паспорта БВР).

Проектирование паспорта БВР включает:

1. выбора типа ВВ и средств взрывания;
2. определения расхода и величины заряда ВВ;
3. выбора конструкции зарядов ВВ;
4. установления числа, глубины и схемы расположения шпуров в забое.

Паспорт БВР рекомендуется разрабатывать в зависимости от инженерно-геологических условий заложения выработки, физико-механических свойств породы, ее трещиноватости и устойчивости, степени обводненности.

Расчет параметров буровзрывных работ

Методика расчета БВР предусматривает разработку выработки на полное сечение.

- 1) Определяют средний удельный расход ВВ, кг/м³:

$$q_c = \left(0.3 * \sqrt{f} + \frac{2}{\sqrt{S}} \right) * e * \psi * \omega \quad (1)$$

где f – коэффициент крепости породы по шкале проф. М.М. Протодьяконова; S – площадь поперечного сечения выработки, м²; e – коэффициент работоспособности ВВ (табл. 1.); ψ - коэффициент влияния плотности заряжания (табл. 2); ω - коэффициент

структуры и трещиноватости горных пород (табл. 3)

Таблица 1 - Коэффициент работоспособности ВВ – e

Наименование ВВ	e	Наименование ВВ	e
Аммонит №1 скальный	0,81	Гранулит АС-4В	0,98
Аммонал №3 скальный	0,80	Аммонит №6 ЖВ	1,00
Детонит М	0,82	Граммонит 79/21-Б	1,00
Граммонал А-8	0,80	Динафталит	1,08
Гранулит АС-8В	0,89	Гранулит М	1,13
Аммонал	0,91	Аммонит ПЖВ-20	1,20

Таблица 2 - Коэффициент влияния плотности заряжания - ψ

Способ заряжания	ψ
Заряжание обычными патронами ВВ	1.10
Заряжание с раздавливанием пластичных патронов В3	1.15
Заряжание россыпными ВВ	1.00

Таблица 3 - Коэффициент структуры и трещиноватости горных пород - ω

Горно-геологическая характеристика пород	ω	f
Монолитные, плотные	1,9...2,0	18...20
Монолитные, с жильными включениями, ослабляющими массив в зонах контакта	1,8...1,9	14...10
Не трещиноватые, с перпендикулярными к продольной оси тоннеля напластованиями	1,6...1,8	10...14
Без видимых трещин с параллельными или наклонными до 70° напластованиями к продольной оси тоннеля	1,4..1,6	8...10
Слаботрещиноватые (до 2 трещин на 1 м ² забоя)	1,0...1,4	6...8
Трещиноватые (от 2 до 5 трещин на 1 м ² забоя)	0,8...1,0	4...6
Сильнотрещиноватые (свыше 5 трещин на 1м ² забоя)	0,6...0,8	2...4

2) Вычисляют линию наименьшего сопротивления (л.н.с.) отбойных шпуров, м:

$$w_o \approx 52 * k_3 * d * \sqrt{\rho_{BB}/(\rho * e * \omega)} \quad (2)$$

где k_3 - коэффициент структуры и трещиноватости горных пород зажима (табл. 4); d - диаметр заряда ВВ, м; ρ_{BB} - плотность ВВ в патронах (при заряжании), кг/м³ (табл. 5); ρ - расчетная плотность породы, кг/м³ (табл. 6)

Таблица 4 - Коэффициент структуры и трещиноватости горных пород зажима - k_3

Площадь сечения выработки, м ²	Менее 20	20...50	Более 50
k_3	0,7	0,8	0,9

Таблица 5 - Плотность ВВ в патронах

Наименование ВВ	кг/м ³	Наименование ВВ	кг/м ³
Аммонит №1 скальный	1450...1580	Аммонит ПЖВ-20	1050...1200
Аммонал № 3 скальный		Аммонит Т-19	1050...1200
Аммонал	900...1100	Граммонал А-8	1000...1250
Детонит М		Грану лит АС-8В	1000...1200
Аммонит 6 ЖВ	950...1150	Гранулит АС-4В	1000...1.200
Динафталит	950...1200	Граммонит 79/21-Б	1000...1250
	1000...1200		
	1000...1150		

Таблица 6 - Расчетная плотность породы

Коэффициент крепости породы, кг/м ³	2...3	4...6	7...9	10...14	15 и более
Расчетная плотность породы	2100	2500	2750	2900	3000

Таблица для определения балансов

Название группы, № шпурков	К-во шпурков	Масса ВВ в группе шпурков	Площадь группы, м ²	Объем, м ³	q_c , кг/м ³	q_f , кг/м ³
	по чертежу	2,5 кг в одном шпуре*к-во шпурков	по чертежу	площадь * длину шпура	ф-ла 1	масса ВВ в группе/объем
1) Врубовые 1-4	4	10	0,25	0,75		=10/0,75
2) Отбойные 5-18	13	32,5				
3) Оконтуривающие 19-39	20	60				

В практике обычно принимают расстояние между шпурами и рядами шпуров одинаковыми, равными ЛНС.

2. ПОРЯДОК ВЫПОЛНЕНИЯ РАБОТЫ

1. По лабораторным макетам и лекциям изучить примеры паспортов БВР.
2. По заданным преподавателем исходным данным рассчитать удельный расход ВВ и ЛНС.
3. Построить графически паспорт БВР.
4. Определить балансы теоретического и фактического удельного расхода ВВ.

ПРАКТИЧЕСКАЯ РАБОТА № 3
«ВЫБОР ГОРНОПРОХОДЧЕСКОГО ОБОРУДОВАНИЯ
И РАСЧЁТ ЕГО ПРОИЗВОДИТЕЛЬНОСТИ»

Цель работы: приобретение студентами практических навыков по выбору горнопроходческого оборудования и расчёту его производительности.

Задачи работы:

- выбор способа и технических средств бурения шпуров;
- расчет производительности бурения шпуров;
- выбор технических средств погрузки породы;
- расчет производительности погрузки породы;
- выбор технических средств заряжания шпуров и возведения постоянной крепи.

1. ТЕОРЕТИЧЕСКИЕ СВЕДЕНИЯ

1.1. Выбор технических средств бурения шпуров

При выборе технических средств бурения шпуров на первом этапе, исходя из крепости и абразивности (табл. 1) горного массива, выбирается рациональный способ бурения шпуров (табл. 2).

Таблица 1- Классификация горных пород по абразивности

Абразивность пород			Характерные породы
Класс	Степень	Показатель, мг	
I	Весьма малоабразивные	Менее 5	Известняк, каменная соль, каменный уголь
II	Малоабразивные	5 ÷ 10	Аргиллиты, глинистые сланцы, углистые алевролиты
III	Ниже средней абразивности	11 ÷ 18	Песчаники, алевролиты, тонкозернистые магматические породы
IV	Средней абразивности	19 ÷ 30	Песчаники прочные, диабазы, мелкозернистые магматические породы
V	Выше средней абразивности	31 ÷ 45	Песчаники крупнозернистые, габбро, скарны, гнейсы
VI	Повышенной абразивности	46 ÷ 65	Крупнозернистые граниты, кварцевые порфиры
VII	Высокой абразивности	66 ÷ 90	Порфиры, граниты, диориты
VIII	В высшей степени абразивные	Более 90	Корундосодержащие породы

Таблица 2 - Способы бурения и рекомендуемые параметры буровых машин

Способ бурения	Свойства горного массива		Осьное усилие, кН	Частота вращения, с ⁻¹	Энергия ударов, Дж
	коэф-нт крепости	класс абразивности			
1. Вращательный: - твердосплавными резцами - алмазными коронками - шарошечными долотами	до 12 10 ÷ 18 8 ÷ 14	I - II	до 18 3 ÷ 5 15 ÷ 20	2 ÷ 12 до 50 5 ÷ 10	-
2. Вращательно-ударный	6 ÷ 16	I - III	10 ÷ 20	2 ÷ 4	$\frac{40 \div 80}{40 \div 60}$
3. Ударно-поворотный	6 ÷ 20	I - VIII	1,1 ÷ 2	1 ÷ 1,5	$\frac{30 \div 200}{30 \div 50}$
4. Ударно-вращательный	6 ÷ 20	I - VI	5 ÷ 10	2 ÷ 5	$\frac{80 \div 200}{33 \div 90}$

На втором этапе, принимая во внимание диаметр и длину шпура, определяют возможные варианты буровых машин (табл. 3).

Таблица 3 - Выбор способа бурения, типа бурильных машин и установочных приспособлений

Коэффициент крепости пород	Способ бурения	Тип бурильных машин и установочных приспособлений
До 12	Вращательный	Ручные и колонковые электросвёрла, навесное бурильное оборудование на погрузочных машинах, бурильные установки с бурильными машинами, типа БУЭ, МБЭ-1, БКГ-2
6 ÷ 16	Вращательно-ударный	Бурильные установки с бурильными машинами БГА-1М или 1100-1-1М
6 ÷ 20	Ударно – поворотный	Ручные (ПР), переносные (ПП) и телескопные (ПТ) перфораторы, переносные бурильные установки (УПБ-1, ЛПК-1У и др.)
6 ÷ 20	Ударно – вращательный	Колонковые перфораторы, бурильные установки с колонковыми пневматическими перфораторами ПК60, ПК75, СОР или гидроперфораторами.

В связи с высокой крепостью пород на рудных шахтах в основном применяют шахтные бурильные установки (типа Sandvik DD, Axera, Boomer, УБШ) на рельсовом или пневмоколёсном ходу.

Выбор бурильной установки

При выборе бурильной установки необходимо руководствоваться следующими

положениями:

- способ бурения бурильной машины должен соответствовать крепости и абразивности пород в обуруиваемом забое;
- размеры зоны бурения должны быть больше или равны высоте и ширине обуруиваемого забоя;
- наибольшая длина шпуров по технической характеристике бурильной машины (установки) должна соответствовать максимальной длине шпуров (по паспорту БВР);
- ширина бурильной установки не должна превышать ширину применяемых транспортных средств (электровоза, вагонеток, погрузочно-транспортных машин, автосамосвалов и т.д.).

Для окончательного выбора конкретной бурильной установки используют следующие критерии:

- безопасные условия труда бурильщика;
- более высокий уровень механизации и автоматизации вспомогательных операций;
- максимальные скорость бурения и сменная производительность;
- минимальная стоимость бурения с учетом амортизационных отчислений, заработанной платы и расхода материалов.

Выбор бурового инструмента

Выбор бурового инструмента можно производить по табл. 4 и 5.

Таблица 4 - Выбор буровых штанг для перфораторного бурения

Диаметр шпуря (скважины), мм	Рекомендуемые	
	диаметр штанги, мм	тип резьбы
35 ÷ 38	22	Круглая
41 ÷ 45	25	Круглая
48 ÷ 64	32	Круглая
64 ÷ 89	38	Круглая или трапециевидная
76 ÷ 115	44	Трапециевидная
89 ÷ 127	51	Круглая или трапециевидная

Таблица 5 - Области применения коронок для перфораторного бурения

Диаметр коронки, мм	Энергия удара перфоратора (Дж), до
32 ÷ 43	63,74
43 ÷ 65	88,26
65 ÷ 85	147,1

1.2. Расчёт технологических параметров буровых машин

Машины вращательно-ударного бурения

1. Угол поворота бура между его ударами:

$$\varphi = (0,5 A_y + 5) - 0,7 f, \text{ градус}, \quad (1)$$

где A_y - энергия удара поршня-ударника, Дж; f – коэффициент крепости пород.

2. Число ударов бура за один его оборот:

$$m = 360 / \varphi, \text{ об}^{-1}. \quad (2)$$

3. Рациональная частота ударов бура:

$$z = 33 + 5000 f / A_y^2, \text{ Гц.} \quad (3)$$

4. Рациональная частота вращения бура:

$$n_{bp} = 60 z / m, \text{ с}^{-1}. \quad (4)$$

5. Крутящий момент на буре:

$$M = 500 - 25 f, \text{ Н}\cdot\text{м.} \quad (5)$$

6. Оптимальное осевое усилие.

Рекомендуется в пределах: $P_{oc} = 6 \div 12 \text{ кН.}$

7. Максимальное осевое усилие.

Рекомендуется в пределах: $P_{max} = 15 \div 20 \text{ кН.}$

8. Удельная объёмная работа разрушения:

$$E_{ob} = 50 (f - 6), \text{ Дж/см}^3. \quad (6)$$

9. Начальная скорость бурения:

$$V_h = 0,1 (20 - f), \text{ м/мин.} \quad (7)$$

*Бурильные машины ударно-поворотного бурения
(ручные и переносные перфораторы)*

1. Оптимальное осевое усилие:

Рекомендуется в пределах: $P_{oc} = 5 \div 8 \text{ кН.}$

2. Оптимальная частота вращения (для шпурлов и скважин диаметром $d = 35 \div 80 \text{ мм.}$):

$$n_{bp} = 145 / d, \text{ с}^{-1}. \quad (8)$$

3. Средняя механическая скорость бурения переносными перфораторами:

$$V_h = \frac{13,4 A_y z}{d^2 \sigma_{cjk}^{0,59}}, \text{ м/мин; } \quad (9)$$

$$V_h = \frac{3,36 A_y z}{d^2 \sigma_{разд}^{0,59}}, \text{ м/мин; } \quad (10)$$

$$V_h = \frac{7,5 A_y z}{d^2 P_k^{0,484}}, \text{ м/мин, } \quad (11)$$

где A_y и z - соответственно энергия удара (Дж) и частота ударов (Гц) поршня-ударника;

$\sigma_{ск}$, $\sigma_{разд}$ - временное сопротивление пород соответственно сжатию и раздавливанию, МПа; d - диаметр шпура, мм; P_k - контактная прочность пород, МПа.

4. Теоретическая скорость бурения шпура (скважины) на глубине L :

$$V_{теор,L} = V_h e^{-\alpha L}, \text{ м/мин,} \quad (12)$$

где α - показатель снижения скорости бурения выносными бурильными головками с глубиной скважины (декремент затухания), м^{-1} :

Тип перфоратора	ПП54В	ПК60	ПК75	ГПЗ
Декремент затухания, $\alpha, \text{м}^{-1}$	0,24	0,05	0,04	0,02

5. Средняя скорость бурения шпура (скважины) до глубины L :

$$V_{cp} = \frac{V_h(1-e^{-\alpha L})}{\alpha L}, \text{ м/мин.} \quad (13)$$

Бурильные машины ударно-вращательного бурения

1. Оптимальная частота вращения бурового инструмента (для шпуров и скважин диаметром $d = 35 \div 80$ мм):

$$N_{bp} = 145 / d, \text{ с}^{-1}. \quad (14)$$

2. Оптимальное осевое усилие.

Рекомендуется в пределах: $P_{oc} = 5 \div 8$ кН.

3. Начальная механическая (теоретическая) скорость бурения:

$$V_h = \frac{3A_y z}{d^2 f}, \text{ м/мин.} \quad (15)$$

Остальные параметры определяются по формулам (12) и (13).

Производительность бурильных установок

1. Техническая производительность бурильной установки:

$$Q_{тех} = \frac{60K_r R K_o}{\frac{\alpha L}{V_h(1-e^{-\alpha L})} + \frac{1}{V_{ox}} + \frac{T_3}{B} + \frac{T_H + T_{35}}{L}}, \text{ м/ч,} \quad (16)$$

где $K_r = 0,9$ - коэффициент готовности установки; R - количество бурильных машин на бурильной установке; K_o - коэффициент одновременности работы бурильных машин, принимается в зависимости от их количества:

R	1	2	3
K_o	1	0,8	0,7

V_{ox} - скорость обратного хода бурильной головки, м/мин ($V_{ox} = 5 \div 6$ м/мин); T_3 -

продолжительность замены коронки, мин ($0,7 \div 1,0$ мин); В - стойкость коронки на одну заточку, м ($B = 15 \div 50$ м в зависимости от крепости пород); T_h - продолжительность наведения бурильной головки на очередной шпур, мин ($T_h = 0,5 \div 1,0$); T_{zb} - продолжительность забуривания шпура, мин ($T_{zb} = 1 \div 2$); L - глубина шпура, м (определяется техническими возможностями бурильной установки).

2. Эксплуатационная производительность бурильной установки:

$$Q_3 = \frac{(T_{cm} - T_{pz} - T_{op}) K_r K_o R}{\frac{\alpha L}{V_h(1-e^{-\alpha L})} + \frac{1}{V_{ox}} + \frac{T_3}{B} + \frac{T_p + (T_h + T_{zb}) m}{m L}}, \text{ м/смен.}, \quad (17)$$

где T_{pz} - продолжительность подготовительно-заключительных операций, ч (можно принимать $T_{pz} = 15 \div 20$ мин); T_{op} - продолжительность простоев по организационным причинам, мин (можно принимать $T_{op} = 20 \div 40$ мин); T_p - время перегона установки из одного в другой забой, мин (при работе бурильной установки в одном забое $T_p = 0$); m - число шпуров в забое.

1.4. Выбор погрузочных машин

Погрузка горной массы является одним из наиболее трудоёмких процессов проходческого цикла и занимает $30 \div 40$ % его продолжительности.

Для погрузки горной массы применяют погрузочные машины двух типов: ковшовые (периодического действия) и с нагребающими лапами (непрерывного действия). На рудных шахтах наибольшее распространение получили погрузочные машины на рельсовом ходу с прямой задней разгрузкой ковша, на пневмоколесном ходу – с боковой погрузкой.

Погрузочные машины ступенчатой погрузкой горной массы позволяют использовать вагонетки различной вместимости и обеспечивают их равномерную загрузку без ручного разравнивания.

Погрузочные машины непрерывного действия имеют ступенчатую погрузку горной массы и гусеничный ход.

Для повышения эксплуатационной производительности погрузочных машин широко применяются ленточные перегружатели.

Основными критериями выбора погрузочных машин являются:

- крепость и абразивность горного массива;
- слеживаемость, обводненность и кусковатость горной массы;
- ширина, высота и площадь поперечного сечения горной выработки;
- вид применяемой энергии;
- наличие рельсовых путей и их число.

Погрузочная машина должна обеспечивать максимальный уровень механизации погрузки породы, высокую производительность труда и заданную скорость проведения выработки с минимальной стоимостью.

Для погрузки абразивной горной массы любой крепости следует применять машины периодического действия.

Если неабразивная горная масса не обводнена, не склонна к слёживаемости, а коэффициент ее крепости не превышает $f = 16$, целесообразно применять более производительные машины непрерывного действия.

При выборе погрузочной машины периодического действия на рельсовом ходу необходимо руководствоваться следующими соображениями:

- ширина фронта погрузки машины не должна быть меньше ширины выработки вчерне (в проходке) по почве во - избежании ручной уборки породы у боков выработки; разница ширины фронта погрузки и ширины выработки по почве допускается не более чем на 20 %;

- высота машины в рабочем положении (максимальная высота) должна быть меньше высоты выработки от головки рельсов до кровли (при отсутствии крепи) или до крепи не менее чем на 5 см;

- ось выработки в призабойной зоне должна совпадать с осью временного рельсового пути для использования всего фронта погрузки машины.

Высота выработки 1,8 м является достаточной для применения машин непрерывного действия, а наличие рельсовых путей не препятствует их применению.

Фронт погрузки машин на гусеничном ходу неограничен, вследствие чего их применяют в двухпутевых выработках.

При проведении выработок небольшого сечения могут применяться погрузочные машины с навесным буровым оборудованием (бурапогрузочные машины).

1.5. Расчёт производительности погрузочных машин периодического действия

1. Техническая производительность:

$$Q_{\text{тех}} = \frac{60V_k K_h \rho_p}{t_{\text{ц}}}, \text{ т/мин,} \quad (18)$$

где V_k - ёмкость ковша погрузочной машины, м^3 ; K_h - коэффициент наполнения ковша горной массы; $t_{\text{ц}}$ - продолжительность одного цикла движения ковша, с; ρ_p - плотность разрыхленной горной массы, $\text{т}/\text{м}^3$:

$$\rho_p = \rho_m / K_p, \text{ т}/\text{м}^3; \quad (19)$$

где ρ_m - плотность пересекаемых выработкой пород в массиве, $\text{т}/\text{м}^3$; K_p - коэффициент разрыхления пород:

$$K_p = 0,16\sqrt{f} + 1,34. \quad (20)$$

2. Коэффициент наполнения ковша:

$$K_h = K_t \cdot K_m, \quad (21)$$

где K_t и K_m - коэффициенты, учитывающие горно-геологические и горнотехнические условия (табл. 6 и 7).

Таблица 6 - Значение коэффициента K_t

Плотность разрыхленной горной массы, $\text{т}/\text{м}^3, \rho_p$	Значение коэффициента K_t			
	Средняя кусковатость (мм) горной массы, $a_{\text{ср}}$			
	100	200	300	400
1,5	1	0,8	0,6	0,3
2	0,9	0,7	0,5	0,25
2,5	0,75	0,6	0,4	0,2
3	0,6	0,45	0,35	0,15

Таблица 7 - Значение коэффициента K_m

Сцепной вес машины, кН, $G_{сц}$	Значение коэффициента K_m			
	Средняя кусковатость (мм) горной массы, a_{cp}			
	100	200	300	400
15 ÷ 30	0,4	0,3	0,25	0,15
30 ÷ 50	0,65	0,45	0,36	0,25
50 ÷ 70	0,85	0,65	0,45	0,35
=> 70	1	0,75	0,55	0,4

3. Эксплуатационная производительность погрузочной машины:

$$Q_3 = 3600 G_B / t_B, \text{ т/час}; \quad (22)$$

$$t_B = t_{\Pi} + t_o + t_c, \text{ с}; \quad (23)$$

$$t_{\Pi} = \frac{1,1 G_B t_{\Pi}}{V_k K_h \rho_p}, \text{ с}; \quad (24)$$

$$t_o = \frac{2L}{V_{cp}} + t_{сц}, \text{ с}; \quad (25)$$

$$t_c = t_p / n, \text{ с}, \quad (26)$$

где G_B - грузоподъемность вагона, т; t_B - продолжительность погрузки одного вагона, с; t_o – продолжительность обмена вагона, с; t_c – продолжительность смены состава, отнесенное к одному вагону, с; t_{Π} – продолжительность наполнения вагона, с; L – расстояние от машины до пункта обмена вагонов, м; V_{cp} – средняя скорость откатки вагонов, м/с (вручную 0,6 ÷ 1,0; электровозом - 1,5 ÷ 3,0); $t_{сц}$ – время на расцепку вагонов, прицепку к машине и прицепку к составу, с; t_p – временной интервал между подачей составов под погрузку, с (определяется удаленностью разминовки от забоя выработки); n – количество вагонов в составе (определяется схемой призабойного транспорта).

1.6. Расчёт производительности погрузочных машин непрерывного действия

1. Теоретическая производительность погрузочной машины:

$$Q = 60 F \cdot V_3, \text{ м}^3/\text{мин}, \quad (27)$$

где F – площадь сечения потока насыпного груза, забираемого из штабеля, м^2 ; V_3 – средняя скорость захвата груза, м/с.

2. Приведенный угол откоса штабеля горной массы:

$$\varphi = \varphi_o \pm \beta, \text{ градус}, \quad (28)$$

где φ_o - усредненный абсолютный угол откоса штабеля горной массы, градус (определяется объемом и величиной разброса отбитой горной массы, и шириной выработки); β - угол наклона выработки, градус; «+» - при работе сверху вниз; «-»- при работе снизу вверх.

3. Коэффициент захвата погрузочной машины:

$$\Psi = \frac{K_b t g \phi}{\sqrt{\rho f(\frac{a}{h})}}, \quad (29)$$

где K_b - коэффициент, учитывающий способ захвата груза (для бокового захвата $K_b = 0,68$); ρ – плотность отбитой горной массы, t/m^3 ; f - коэффициент крепости пород; a - средняя кусковатость горной массы, м (можно принимать $a = 0,15-0,2$); H - высота штабеля горной массы (определяется с учетом разброса породы), м.

4. Техническая производительность погрузочной машины:

$$Q_{tex} = \psi Q, \text{ м}^3/\text{мин.} \quad (30)$$

5. Чистое время погрузки всей породы в забое:

$$T_p = S_{pr} L_{sh} K_{sh} K_p / Q_{tex}, \text{ мин,} \quad (31)$$

где S_{pr} - сечение выработки в проходке, m^2 ; L_{sh} - глубина шпурков, м; K_{sh} - коэффициент использования шпурков; K_p – коэффициент разрыхления пород.

6. Продолжительность маневрирования погрузочной машины:

$$T_m = \left(\frac{B}{L_3} - 1 \right) t_m, \text{ мин,} \quad (32)$$

где B - средняя ширина выработки, м; L_3 - ширина заходки (питателя) машины, м; t_m - продолжительность одной перестановки машины, мин.

$$t_m = \frac{2L_{sh} K_{sh} K_p + \frac{H}{2tg\phi} + 4L_m}{V_m}, \text{ мин,} \quad (33)$$

где H – высота выработки в проходке, м; L_m - полная длина машины, м; V_m - скорость маневрового передвижения машины, м/мин.

7. Время вспомогательных операций:

$$T_B = t_1 + t_2, \text{ мин; } \quad (34)$$

$$t_1 = \left(\frac{SL_{sh} K_{sh} K_p}{zV_B} - 1 \right) \left(\frac{2L_{otk}}{V_{otk}} + t_{obm} \right), \text{ мин; } \quad (35)$$

$$t_2 = 2 L_m / V_m, \text{ мин,} \quad (36)$$

где t_1 - время простоя погрузочной машины на периоды обмена транспортных сосудов под погрузкой, мин; t_2 - время подхода машины к забою и ее отхода для производства буровзрывных работ, мин; z – число вагонеток в составе; V_B – ёмкость вагонетки, m^3 ; L_{otk} – среднее расстояние откатки вагонеток, м; V_{otk} – средняя скорость откатки, м/мин; t_{obm} – продолжительность маневрирования на обменном пункте, мин; L_m – расстояние отхода погрузочной машины от забоя, м (обычно $L_m = 30 \div 50$ м).

8. Полное расчетное время машинной погрузки:

$$T = T_p + T_m + T_b, \text{ мин.} \quad (37)$$

9. Эксплуатационная производительность погрузочной машины:

$$Q_e = 60 S_{\text{пр}} \cdot L_{\text{ш}} \cdot K_{\text{ш}} \rho / T, \text{ т/ч.} \quad (38)$$

1.7. Выбор погрузочно-транспортных машин

Для проведения подготовительных выработок различного назначения могут применяться погрузочно-транспортные машины двух типов: ковшово-бункерные (ПТМ) и ковшовые (ПДМ).

Машины типа ПТ имеют погрузочный ковш небольшой вместимости для загрузки кузова и предназначены для транспортирования горной массы на большие расстояния, чем машины типа ПД такого же типоразмера, но имеющие грузонесущий ковш.

Выбор погрузочно-транспортных машин можно производить по табл. 8 и 9.

Таблица 8 - Области применения ковшовых ПТМ

Параметры	Значение параметров				
Вместимость ковша	1 ÷ 2	2 ÷ 3	До 4	До 6	6 ÷ 8
Кондиционный кусок, м	0,25 ÷ 0,3	0,4 ÷ 0,5	0,5 ÷ 0,6	0,65 ÷ 0,8	0,9 ÷ 1,0
Параметры доставочных выработок:					
- площадь сечения, м ²	6	8,5	12	14	18
- высота, м	3,5 ÷ 4,0	5 ÷ 7	7 ÷ 10	6 ÷ 16	
- ширина, м	2,0 ÷ 3,1	3,2	3,7	4	4,2
- уклон, градус	12 ÷ 29	12 ÷ 26	15	15 ÷ 17	24
Длина доставки, м	100 ÷ 150	200	300	400	500

Таблица 9 - Области применения ковшово-бункерных ПТМ

Параметры	Значение параметров		
Вместимость ковша, м ³	1	2,5	6
Кондиционный кусок, м	0,2 ÷ 0,3	0,4 ÷ 0,5	0,5 ÷ 0,6
Параметры доставочных выработок:			
- площадь сечения, м ²	6	8,5	12
- высота, м	3,5	4	7 ÷ 8
- ширина, м	2,6	3,6	4
- уклон, градус		7 ÷ 12	
Длина доставки, м	150	300	600

1.8. Расчет производительности ковшовых ПТМ

1. Техническая производительность ПТМ:

$$Q_{\text{тех}} = \frac{60 V_k K_{\text{нк}}}{T_p K_p}, \text{ м}^3/\text{ч}, \quad (39)$$

где V_k - емкость ковша ПТМ, м³; $K_p = 1,4 \div 2,3$ – коэффициент разрыхления горной массы; T_p - продолжительность цикла работы ПТМ, мин.; $K_{\text{нк}}$ - коэффициент наполнения ковша ПТМ, который принимается в зависимости от свойств руды:

Тип руды	Крупнокусковая	Влажная, сыпучая	Мелкая (до 50 мм)
Значение K_{hk}	$0,8 \div 1,1$	$0,55 \div 0,7$	$0,55 \div 0,75$

2. Продолжительность цикла работы ПТМ:

$$T_{\text{ц}} = t_h + t_{\text{разг}} + t_p, \text{ мин}; \quad (40)$$

$$t_h = 47,7 K_{\text{п}} d_{\text{ср}}^{3/2} / G, \text{ мин}; \quad (41)$$

$$t_{\text{разг}} = 0,133 G^{0,5}, \text{ мин}; \quad (42)$$

$$t_p = \frac{0,06L}{K_{\text{сx}} V_{\text{г}}} + \frac{0,06L}{K_{\text{сx}} V_{\text{п}}}, \text{ мин}, \quad (43)$$

где t_h – продолжительность цикла наполнения ковша ПТМ, мин; $d_{\text{ср}}$ – средний диаметр погружаемого куска породы, м; $K_{\text{п}} = 1,25 \div 1,35$ – коэффициент, учитывающий увеличение продолжительности цикла черпания в зависимости от кусковатости горной массы; G – фактическая грузоподъёмность ПТМ, т; $t_{\text{разг}}$ – продолжительность разгрузки ковша, мин; t_p – продолжительность рейса ПТМ, мин; L – расстояние транспортирования горной массы, м; $V_{\text{г}}, V_{\text{п}}$ – средние скорости движения ПТМ с грузом и порожняком, км/ч (можно принимать $V_{\text{г}} = 10, V_{\text{п}} = 15$); $K_{\text{сx}}$ – коэффициент, учитывающий среднеходовую скорость движения машины:

Расстояние транспортирования L , м	≤ 300	> 300
Коэффициент $K_{\text{сx}}$	0,8	0,75

3. Эксплуатационная производительность ПТМ:

$$Q_{\text{э}} = Q_{\text{тех}} K_{\text{i}} (T_{\text{см}} - T_{\text{пз}}), \text{ м}^3/\text{смену}, \quad (44)$$

где $K_{\text{i}} = 0,8 \div 1,0$ – коэффициент использования грузоподъемности машины; $T_{\text{см}}$ – продолжительность смены, ч; $T_{\text{пз}} = 0,7 \div 0,8$ ч – продолжительность выполнения подготовительно-заключительных операций.

1.9. Расчёт производительности ковшово - бункерных ПТМ

1 Техническая производительность ПТМ:

$$Q_{\text{тех}} = \frac{60V_b K_{\text{нб}}}{T_{\text{ц}} K_p}, \text{ м}^3/\text{ч}. \quad (45)$$

2. Продолжительность цикла работы ПТМ:

$$T_{\text{ц}} = t_h + t_{\text{разг}} + t_p, \text{ мин}; \quad (46)$$

$$t_h = \frac{V_b K_{\text{нб}} t_{\text{ц}} K_m K_{\text{нг}}}{K_{\text{нк}} V_k}, \text{ т/ч}, \quad (47)$$

где t_h – продолжительность наполнения бункера ПТМ, мин; $t_{\text{разг}}$ – продолжительность разгрузки бункера, мин (можно принимать: для машин с опрокидным бункером: $t_{\text{разг}} = 1 \div 1,66$, с донным конвейером: $t_{\text{разг}} = 2 \div 3$ мин); t_p – продолжительность рейса ПТМ, мин

(см. формулу 43); V_b - емкость бункера машины, m^3 ; K_{nb} - коэффициент наполнения бункера (можно принимать: $K_{nb} = 0,75 \div 1,0$); t_c - продолжительность цикла ковша, мин (можно принимать: $t_c = 0,12 \div 0,2$ мин); K_m - коэффициент маневров в забое (можно принимать: $K_m = 1,2 \div 1,3$); K_{nk} - коэффициент наполнения ковша (можно принимать: $K_{nk} = 0,8 \div 1,25$); V_k - емкость ковша ПТМ, m^3 ; K_{ng} - коэффициент, учитывающий наполнение ковша в зависимости от выхода негабарита:

Выход негабарита, V_{ng} , %	≤ 5	≤ 10	≤ 15	> 15
Коэффициент K_{ng}	1	1,2	1,3	1,4

3. Эксплуатационная производительность ПТМ.

Определяется по формуле 44.

2. ПОРЯДОК ВЫПОЛНЕНИЯ РАБОТЫ

1. По каталогам горной техники и лекциям изучить конструкции и принципы действия горнопроходческого оборудования.
2. Обосновать и выбрать рациональный способ бурения.
3. Обосновать и выбрать буровую машину, буровой инструмент и бурильную установку.
4. Рассчитать технологические параметры буровой машины, техническую и эксплуатационную производительность бурильной установки.
5. Обосновать и выбрать погрузочную (или погрузочно-транспортную) машину, рассчитать её техническую и эксплуатационную производительность.
6. Обосновать и выбрать зарядчик и средства механизации возведения постоянной крепи.

ПРАКТИЧЕСКАЯ РАБОТА № 4

ВЫБОР И РАСЧЁТ ГОРНЫХ КРЕПЕЙ

Цель работы: приобретение студентами практических навыков по выбору видов крепи и расчету ее параметров.

Задачи работы:

- определение устойчивости горной выработки по энергетическому коэффициенту;
- выбор и расчет горной крепи выработки.

1. ТЕОРЕТИЧЕСКИЕ СВЕДЕНИЯ

1.1. Выбор типа крепи

Предварительно выбрать тип крепи можно по энергетическому коэффициенту запаса прочности пород на контуре горной выработки:

$$n_e = u_{cm} / u_r; \quad (1)$$

$$u_{cm} = (K_t u_{cж} + u_r), \text{ МДж/м}^3; \quad (2)$$

$$u_r = \rho g H, \text{ МДж/м}^3. \quad (3)$$

где n_e – энергетический коэффициент запаса прочности пород на контуре горной выработки; u_{cm} - удельная энергоёмкость разрушения горного массива при сжатии, МДж/м^3 ; u_r - удельная потенциальная энергия сил гравитации, МДж/м^3 ; K_t – коэффициент снижения удельной энергоёмкости разрушения горного массива при сжатии при наличии в нём трещин (можно принимать $K_t = 0,85-1,0$); $u_{cж}$ - удельная энергоёмкость разрушения горных пород при сжатии, МДж/м^3 , можно принимать $u_{cж} = 10 f$ (f – коэффициент крепости пород); ρ – плотность пород налегающей толщи, т/м^3 ; $g = 9,81 \text{ м/с}^2$ – ускорение свободного падения; H – глубина заложения горной выработки, км.

Рекомендации по выбору типа крепи по энергетическому коэффициенту запаса прочности пород на контуре горной выработки приведены в таблице 1.

Таблица 1 - Выбор типа крепи по энергетическому коэффициенту запаса прочности пород

Значение энергетического коэффициента запаса прочности пород	Категория нарушенности горных пород	Рекомендации по выбору типа крепи
$n_e >= 20$	I	Крепь может отсутствовать. При наличии интенсивной трещиноватости, заполненной минеральным веществом меньшей прочности, чем породный массив, целесообразно применение тонкого слоя торкретбетона или полимербетона
$18 = < n_e < 20$		Крепь может отсутствовать. При наличии открытой трещиноватости целесообразно применение торкретбетона толщиной до 3 см
$12 = < n_e < 18$	II	Целесообразно применение

		торкретбетона или набрызгбетона толщиной 3 ÷ 5 см
4 = < n ₃ < 12		Целесообразно применение набрызгбетонной или комбинированной крепи из железобетонных (сталеполимерных стоек анкеров) и набрызгбетона
3 = < n ₃ < 4	III	Целесообразно применение комбинированной крепи из анкеров и набрызгбетона или арочной металлической податливой крепи из спецпрофиля
1 = < n ₃ < 3		Целесообразно применение арочной металлической крепи из спецпрофиля или комбинированной крепи из анкеров и металлических рам
n ₃ < 1	IV	Целесообразно применение комбинированной крепи из анкеров и металлических рам с тампонажем пространства между крепью и горным массивом твердеющими материалами

1.2. Расчёт анкерной крепи

На рудных шахтах наибольшее распространение получила железобетонная, сталеполимерная, самозакрепляющаяся анкерная крепь.

1. Несущая способность стержня железобетонного или сталеполимерного анкера из условия его прочности на разрыв:

$$P_c = \pi r^2 R_p, \text{ МН}, \quad (4)$$

где r – радиус стержня анкерной крепи (рекомендуемый диаметр не менее 0,016 м), м; R_p – расчётное сопротивление материала стержня растяжению, МПа (табл. 2).

Таблица 2 - Расчётное сопротивление материала стержня растяжению

Сталь	Класс А - I	Класс А - II	Класс А - III
R _p , МПа	210	270	360

2. Несущая способность замка анкерной крепи из условия сдвига бетона (полимербетона) относительно стенок шпура:

$$P_3 = \pi d_{ш} \omega L_3 m, \text{ МН}, \quad (5)$$

где d_ш - диаметр шпура, м; ω - удельное сцепление бетона (полимербетона) с породой, МПа (табл. 3); L₃ - длина заделки стержня крепи, м (в полимербетоне величину L₃ можно принимать равной 0,25 ÷ 0,3 м, а в бетоне – не менее половины длины шпура); m - коэффициент, учитывающий условия работы замка крепи (табл. 4).

Таблица 3 - Удельное сцепление бетона и полимербетона с различными породами

Породы	Удельное сцепление с породой, ω , МПа	
	бетона с прочностью 50 МПа при водоцементном отношении 0,5	полимербетона
Известняки	1,0	3
Порфириты	1,1	н.д.
Гранодиориты	1,4	н.д.
Сланцы	1,0	2 ÷ 2,5
Скальные изверженные породы	1,0	3

Таблица 4 - Значения коэффициента, учитывающего условия работы замка крепи

Условия работы замка крепи:	сухой шпур	влажный шпур	капёж из шпура
Значение m	0,9	0,75	0,6

3. Расчётная несущая способность анкера:

$$P_a = \min (P_c, P_3), \text{ МН.} \quad (6)$$

4. Плотность расстановки анкеров в кровле выработки:

$$S_{kp} = \frac{q_h n_p}{P_a}, \text{ м}^{-2}, \quad (7)$$

где q_h – нормативная нагрузка на крепь со стороны кровли, МПа; $n_p = 1,2$ – коэффициент перегрузки.

$$q_h = \rho g \Delta R_p, \text{ кПа.} \quad (8)$$

$$\Delta R_p = (0,5 * B) / \operatorname{tg} \varphi, \text{ м.} \quad (9)$$

$$R_p = r \sqrt{1 + \frac{u_f}{u_{otp}}}, \text{ м.} \quad (10)$$

где ΔR_p - расстояние от контура выработки до трещины отрыва, м; R_p - расстояние от центра выработки до трещины отрыва, м; r – радиус горной выработки, м (принимается равным половине высоты выработки); B – ширина выработки вчёрне, м; φ – угол внутреннего трения пород (можно принимать 38-42 градуса).

5. Расстояние между анкерами, расположенными в кровле выработки по квадратной сетке:

$$a = 1 / \sqrt{S_{kp}}, \text{ м.} \quad (11)$$

Это расстояние может составлять 0,9 ÷ 1,2 м и более.

6. Длина анкера в кровле:

$$L_a = \Delta R_p + L_{zr} + L_n, \text{ м,} \quad (12)$$

где $L_{zr} = 0,3 \div 0,4$ м – величина заглубления анкера в менее трещиноватую зону пород; $L_n = 0,05 \div 0,02$ м – длина выступающей части анкера, зависящая от его конструкции и толщины опорно-поддерживающих элементов.

Минимальная длина анкера составляет 1,2 м (см. ГОСТ 31559-2012), максимальная

– 3 м (обычно $L_a = 1,8 \div 2,5$ м).

1.4. Расчёт бетонной крепи

1. Толщина крепи в замке свода.

Толщину крепи в замке свода можно определить по формулам проф. М.М. Протодьяконова или С.С. Давыдова:

$$d_0 = \frac{2,2 b_{\text{выр}}}{[\sigma_{\text{сж}}] \sqrt{f}} \sqrt{\frac{b_{\text{выр}}}{2 h_0}}, \text{ м}; \quad (13)$$

$$d_0 = 0,6 \sqrt{\frac{b_{\text{выр}}}{h_0}} \left(1 + \sqrt{\frac{b_{\text{выр}}}{f}} \right), \text{ м}, \quad (14)$$

где $b_{\text{выр}}$ – ширина выработки в свету, м; $\sigma_{\text{сж}}$ – расчётное сопротивление бетона сжатию, МПа (табл. 5); f – коэффициент крепости пород; h_0 – высота свода выработки в свету, м (можно принимать равной $h_0 = b_{\text{выр}}/3$).

Таблица 5 - Пределы прочности различных марок бетона

Марка бетона	150	200	250	300	350	400	500
Предел прочности, МПа	15	20	25	30	35	40	50
Предел прочности на осевое сжатие, МПа	7	9	11	13,5	15,5	17,5	21,5

Толщина крепи в замке свода должна быть не менее 200 мм.

$$2. \text{ Толщина стен крепи:} \quad t = (1,2 \div 1,5) d_0, \text{ м.} \quad (15)$$

Толщина стен крепи не должна быть менее 250 мм.

Типовыми паспортами крепления выработок для рудников цветной металлургии толщину монолитной бетонной крепи принимают по табл. 6.

Таблица 6 - Рекомендуемая толщина монолитной бетонной крепи с прочностью 15 МПа

Ширина выработки в свету, м	Толщина бетонной крепи (мм) при коэффициенте крепости пород					
	3		4 ÷ 6		7 ÷ 8	
	в своде	в стенках	в своде	в стенках	в своде	в стенках
1800 ÷ 2400	170	200	170	200	170	200
2401 ÷ 3400	200	250	170	200	170	200
3401 ÷ 4400	200	300	200	250	170	250
4401 ÷ 4600	200	300	200	300	200	250
4601 ÷ 5000	250	350	200	300	200	250
5001 ÷ 5200	250	350	250	300	200	300
5201 ÷ 5400	300	400	250	300	200	300

Толщину фундамента принимают равной толщине стенок. Величина заглубления фундамента в почву выработки со стороны водоотливной канавки составляет 500 мм, с противоположной стороны – 250 мм.

1.5. Расчёт набрызгбетонной крепи

1. Толщина крепи для выработки прямоугольно-сводчатой формы шириной до 6 м:

$$\delta = 0,35 \sqrt{\frac{q_h}{m_b [\sigma_p]}}, \text{ м,} \quad (16)$$

где q_h – нормативная нагрузка со стороны кровли, МПа (см. формулу 12); m_b – коэффициент, учитывающий условия работы бетона (для неармированного набрызгбетона $m_b = 0,85$, для армированного – $m_b = 1,0$); $[\sigma_m]$ – расчётное сопротивление набрызгбетона растяжению, МПа (табл. 7).

Таблица 7 - Расчётное сопротивление набрызгбетона растяжению

Марка бетона	M200	M300	M400	M500
Предел прочности бетона на сжатие, МПа	20	30	40	50
Сопротивление набрызгбетона растяжению, МПа:				
- при наличии армирования	1,0	1,2	1,4	1,6
- при отсутствии армирования	0,75	1,0	1,2	1,35

Окончательно толщину слоя набрызгбетонной крепи необходимо принимать не менее 30 мм.

Свойства набрызгбетона приведены в табл. 8.

Таблица 8 - Свойства набрызгбетона

Марка бетона	Расход цемента на 1 м ³ сухой смеси, кг	Относительное содержание крупного заполнителя в сухой смеси	Содержание цемента на 1 м ³ сухой смеси, кг	Отскок материала от вертикальной поверхности, % от объёма
M300	250	0,2 ÷ 0,3	300 ÷ 350	10 ÷ 12
M400	300	0,3 ÷ 0,4	350 ÷ 400	12 ÷ 14
M500	350	0,4 ÷ 0,5	450 ÷ 520	16 ÷ 20

При расчётной толщине слоя набрызгбетонной крепи более 70 мм необходимо применять комбинированную крепь.

1.6. Расчёт комбинированной крепи

1. Длина анкера:

$$L_a = \frac{B}{\sqrt{f}} + K, \text{ м,} \quad (17)$$

где B – ширина выработки вчерне, м; f – коэффициент крепости пород; K – коэффициент, учитывающий ширину выработки (табл. 9).

Таблица 9 - Значения коэффициента, учитывающего ширину выработки

Ширина выработки, м	<= 3,5	> 3,5
Значение коэффициента K	0,4 ÷ 0,5	0,15 ÷ 0,2

2. Интенсивность нагрузки на набрызгбетонную крепь при наличии анкеров:

$$q_h = 17 \cdot 10^{-8} a \rho g, \text{ МПа,} \quad (18)$$

где a – расстояние между анкерами (см. формулу 11), м; ρ – объёмная масса налегающих пород, $\text{кг}/\text{м}^3$.

3. По формуле (20) определяется толщина набрызгбетонного покрытия. При этом минимальная толщина покрытия составляет 2 см.

1.7 Металлическая арочная податливая крепь

Расчётная схема металлической арочной податливой крепи приведена на рис. 2.1.

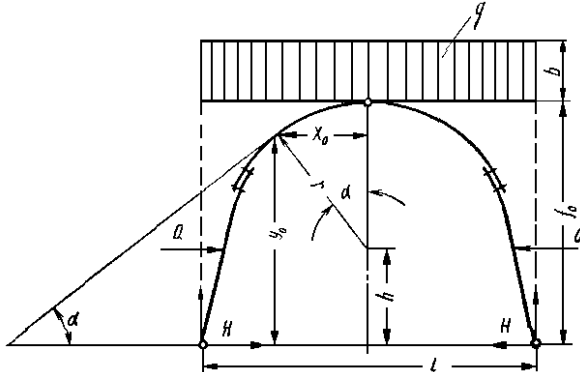


Рисунок 1 - Расчётная схема арочной податливой крепи

1. Предполагаемая высота свода естественного равновесия:

$$b_{CB} = \frac{a}{\tan \varphi}, \text{ м}, \quad (19)$$

где a – полупролёт выработки в проходке, м; φ – угол внутреннего трения пород, градус (можно принимать в пределах 38 – 42 градусов); $\tan \varphi$ - коэффициент внутреннего трения пород.

2. Интенсивность горного давления на 1 м ширины выработки:

$$q = b_{CB} L_{KP} \rho g, \text{ Н/м}, \quad (20)$$

где L_{KP} – расстояние между рамами (шаг установки крепи), м.

3. Упругий отпор боковых пород:

$$Q_y = 0,01 \text{ Кот } q, \text{ Н}, \quad (21)$$

где Кот – коэффициент отпора боковых пород, можно принимать равным 6-7 - кратной величине площади поперечного сечения выработки в свету.

4. Горизонтальный распор:

$$H = \frac{q b_{выр}^2}{8 h_{выр}} - \frac{Q_y r}{h_{выр}}, \text{ м}, \quad (22)$$

где $b_{выр}$, $h_{выр}$ – ширина основания и высота выработки в свету, м; r – радиус осевой дуги крепи, м.

5. Реакция опор:

$$A = B = 0,5 q b_{выр}, \text{ Н}, \quad (23)$$

6. Координаты опасного сечения:

- абсцисса: $x_0 = \sqrt{r - \frac{(H+Q_y)^2}{q^2}}, \text{ м},$ (24)

- ордината: $y_0 = \sqrt{r^2 - x_0^2} + h, \text{ м},$ (25)

где h – расстояние от почвы выработки до центра верхней дуги.

7. Максимальный изгибающий момент:

$$M_{\max} = A \left(\frac{b_{\text{вып}}}{2} - x_0 \right) - \frac{q}{2} \left(\frac{b_{\text{вып}}}{2} - x_0 \right)^2 - H y_0 - Q_y (y_0 - h), \text{ Н м},$$
 (26)

8. Момент сопротивления арки:

$$W = 10^{-6} M_{\max} / [\sigma_{изг}], \text{ см}^3,$$
 (27)

где $\sigma_{изг}$ - допустимое напряжение на изгиб металла ($\sigma_{изг} = 150 - 270 \text{ МПа}$). Выбор крепи можно произвести по данным таблица 10.

Таблица 10 – Выбор профиля рамы СВП

Номер профиля СВП	Площадь поперечного сечения выработки	Масса крепи, кг/м	Момент сопротивления относительно оси X – X, см ³
14	6 - 10	14,7	40,7
17	То же	17,1	50,3
19	До 11	19,2	61,3
22	10 - 15	21,9	74,8
27	15 - 20	27	100,2

9. Сила осевого сжатия

$$N_o = A \frac{x_0}{r} + q \left(\frac{b_{\text{вып}}}{2} - x_0 \right) \frac{x_0}{r} - H \frac{(y_0 - h)}{r} - Q_y \frac{(y_0 - h)}{r}, \text{ Н}$$
 (28)

10. Общее напряжение в опасном сечении

$$\sigma_o = \frac{M_{\max}}{W_1} + \frac{N_o}{F_1}, \text{ МПа},$$
 (29)

где W_1 и F_1 - момент сопротивления и площадь сечения принятого спецпрофиля арки.

При соблюдении условия $\sigma_o > \sigma_i$ принятая арка не будет прочной. В этом случае следует уменьшить расстояние между арками или применить спрецпрофиль с большими значениями W_1 и F_1 .

2. ПОРЯДОК ВЫПОЛНЕНИЯ РАБОТЫ

1. По лабораторным макетам и лекциям изучить конструкции крепей горизонтальных и наклонных выработок.
2. Рассчитать параметры принятой крепи.
3. Начертить в масштабе проектное поперечное сечение горной выработки с расчетными параметрами крепи.

ПРАКТИЧЕСКАЯ РАБОТА № 5

РАСЧЁТ ОРГАНИЗАЦИИ ГОРНОПРОХОДЧЕСКИХ РАБОТ ПРИ ПРОВЕДЕНИИ И КРЕПЛЕНИИ ГОРИЗОНТАЛЬНЫХ И НАКЛОННЫХ ВЫРАБОТОК

1. ТЕОРЕТИЧЕСКИЕ СВЕДЕНИЯ

1.1. Общие сведения

Порядок выполнения рабочих процессов и операций определяет форму организации производственного процесса проведения горной выработки.

Различают следующие формы организации производственного процесса: *циклическую, поточную и циклическую - поточную*.

Циклическая организация характеризуется периодическим повторением во времени определённой совокупности рабочих операций. При этом отдельные операции внутри цикла могут выполняться последовательно или параллельно-последовательно. Циклическая организация производственного процесса используется при буровзрывном способе проведения выработок.

Поточная организация характеризуется полным совмещением рабочих процессов и операций во времени и пространстве и непрерывной выдачей горной массы. Такая организация строительства горных выработок возможна при применении техники непрерывного действия: проходческих комбайнов и комплексов.

Циклическо - поточная организация предусматривает совмещение некоторых процессов с целью повышения непрерывности строительства горной выработки. Примером такой организации может служить многозабойный метод строительства выработок с применением самоходного оборудования.

На рудных шахтах строительство горизонтальных выработок осуществляется буровзрывным способом с применением циклической организации работ. При этом используются *графики циклическости*, которые отображают длительность и последовательность выполнения всех технологических процессов проходческого цикла с учетом объемов работ, производительности оборудования, числа и расстановки рабочих.

Проходческий цикл – это совокупность проходческих процессов, повторяющихся в течение одинакового промежутка времени, за который забой выработки подвигается на одинаковую величину.

Основными процессами проходческого цикла при строительстве выработок буровзрывным способом являются:

- бурение шпуров;
- их заряжение;
- взрывание зарядов;
- проветривание забоя;
- погрузка отбитой горной массы;
- откатка вагонеток до обменного пункта;
- обмен вагонеток;
- возведение крепи (временной и постоянной);
- устройство водоотводной канавки;
- настилка пути;
- наращивание и переноска конвейеров, силовых коммуникаций и др.

Продолжительность проходческого цикла – это время, в течение которого выполняются процессы проходческого цикла.

Продолжительность проходческого цикла обычно принимается кратной продолжительности смены, что значительно упрощает организацию работ в забое и учёт выполненной работы каждым звеном бригады.

При проектировании организации работ по проведению горных выработок

необходимо выбирать такие параметры проходческого цикла, которые обеспечивали бы наименьшие затраты труда и времени на каждый процесс и каждую операцию, а также способствовали наиболее рациональному использованию применяемого горнотехнического оборудования.

Выполнение основных проходческих процессов может осуществлять по двум организационным схемам:

- последовательной – когда проходческие процессы выполняются один за другим в определенном технологическом порядке, причём последующий процесс начинается после полного окончания предыдущего;

- параллельной – когда некоторые проходческие процессы (бурение шпуров, уборка породы, крепление) полностью или частично совмещаются во времени.

При *последовательной* схеме организации работ продолжительность цикла равна сумме времени, затрачиваемого на выполнение всех основных процессов с учетом времени на все подготовительно-заключительные операции, т. е.:

$$T_{ц} = \Sigma t = t_b + t_3 + t_B + t_{п} + t_{kp} + t_h, \text{ мин,} \quad (1)$$

где t_b , t_3 , t_B , $t_{п}$, t_{kp} , t_h - продолжительность соответственно бурения шпуров, их заряжания, взрывания зарядов, погрузки горной массы, крепления выработки, наращивания транспортных и силовых коммуникаций, мин.

При *параллельной* схеме организации работ продолжительность цикла уменьшается за счет частичного или полного совмещения во времени некоторых основных процессов.

Степень совмещения процессов можно характеризовать коэффициентом совмещения процессов:

$$K_c = \Sigma t_c / \Sigma t, \quad (2)$$

где Σt_c - сумма продолжительности совмещения процессов цикла, мин; Σt - суммарная продолжительность всех процессов, мин.

При последовательной схеме работ $K_c = 0$. При одновременном (параллельном) выполнении всех процессов $K_c = 1$.

При параллельной схеме работ каждый процесс можно характеризовать коэффициентом совмещения данного процесса:

$$K_{c,n} = t_{c,n} / t_n, \quad (3)$$

где $t_{c,n}$ - продолжительность совмещенной части процесса, мин; t_n - продолжительность данного процесса, мин.

Продолжительность цикла при параллельной схеме работ можно определить по формуле:

$$T_{ц} = \Sigma t - \Sigma t_c, \text{ мин,} \quad (4)$$

где Σt - сумма времени, затрачиваемого на все процессы цикла, мин; Σt_c - сумма совмещенного времени всех процессов цикла, мин.

Достоинства и недостатки последовательной и параллельной схем организации работ приведены табл. 1.

При определенных горнотехнических условиях и совершенной организации работ обе схемы дают высокие технико-экономические показатели строительства выработок.

Последовательную схему организации работ следует применять при проведении горных выработок с высокопроизводительным оборудованием (бурильными установками, буропогрузочными машинами и др.).

Параллельную схему организации работ следует применять при проведении горных выработок комбайнами, а также в случае оснащения забоя малопроизводительной техникой, например отбойными молотками. В этом случае погрузку отбитой горной массы необходимо совмещать во времени с отбойкой.

Таблица 1 - Сравнительная характеристика различных схем организации работ

Достоинства	Недостатки
Последовательная схема организации работ	
Благоприятные условия для повышения производительности труда отдельных проходчиков	Большая продолжительность проходческого цикла
Простота организации работ	Недостаточное использование проходческого оборудования во времени
Возможность применения бурильных установок	
Максимальная безопасность работ	
Параллельная схема организации работ	
Значительное сокращение продолжительности цикла	Сложность организации работ в забое
Более полное использование проходческого оборудования во времени	Снижение продолжительности труда отдельных проходчиков Снижение безопасности работ

1.2. Порядок проектирования организации горнопроходческих работ

Проектирование организации горнопроходческих работ включает в себя следующие этапы:

- выбор режима работы забоя или участка;
- установление состава и объёма выполняемых работ;
- расчёт основных параметров проходческого цикла;
- определение количественного и квалификационного состава бригады;
- составление графика организации работ (графика цикличности);
- составление графика выходов рабочих.

1.3. Выбор режима работы забоя или участка

Для проектируемого забоя или участка устанавливается:

- недельный и суточный режим работы;
- длительность рабочей смены;
- число дней работы в течение недели.

Недельный режим работы участка может быть непрерывным (7 рабочих дней в неделю) или прерывный (5 или 6 рабочих дней в неделю).

Недельный режим для рабочих может быть 6-ти, 5-ти и 4-х дневным.

Продолжительность рабочей смены может составлять 6, 7, 8 часов, а иногда и более.

При определении порядка чередования рабочих смен необходимо стремиться к обеспечению наибольшей продолжительности между сменами в момент их ломки (перехода из одной смены в другую).

1.4. Установление состава и объёма выполняемых работ

В состав работ по строительству горной выработки входят следующие процессы:

- проведение выработки;
- крепление выработки;
- устройство водоотводной канавки;
- настилка постоянного пути;
- прочие работы (навеска вентиляционных труб, устройство сланцевых заслонов и т.п.).

Проведение выработки при буровзрывном способе проведения выработки включает в себя следующие основные и вспомогательные процессы:

- бурение шпуров;
- заряжание шпуров и взрывание зарядов;
- проветривание забоя;
- приведение забоя в безопасное состояние;
- погрузку горной массы и её транспортирование до обменного или перегрузочного пункта;
- установку временной крепи (в случае неустойчивых пород);
- настилку временных путей или наращивание конвейера.

Проведение выработки при комбайновом способе проведения выработки включает в себя следующие основные и вспомогательные процессы:

- выемку горной массы и её транспортирование до обменного или перегрузочного пункта;
- осмотр и ремонт комбайна;
- установку временной крепи (в случае неустойчивых пород);
- настилку временных путей или наращивание конвейера.

Крепление выработки включает в себя:

- снятие временной крепи (если она предусмотрена);
- возведение постоянной крепи.

Устройство водоотводной канавки включает в себя отбойку, погрузку горной массы и крепление канавки.

Настилка пути включает в себя снятие временных и укладку постоянных рельсовых путей, балластировку пути.

Объёмы работ на цикл по процессам определяются по следующим формулам:

- по бурению отбойных шпуров:

$$V_6 = N_{ш} L_{ш}, \text{ м}; \quad (5)$$

- по погрузке отбитой горной массы:

$$V_{п} = S_{п} L_{ш} \eta K_{ис}, \text{ м}^3; \quad (6)$$

- по креплению выработки рамной крепью (на 1 цикл):

$$V_{kp} = L_{ш} \eta / L_p, \text{ рам}; \quad (7)$$

- по креплению выработки набрызгбетонной крепью (на 1 цикл):

$$V_{kp} = (S_{п} - S_{cb}) L_{ш} \eta, \text{ м}^3; \quad (8)$$

- по настилке рельсового пути:

$$V_{н.} = L_{ш} \eta m_{п}, \text{ м}; \quad (9)$$

- по устройству водоотливной канавки и наращиванию вентиляционных труб:

$$V_k = V_b = L_{sh} \eta, m, \quad (10)$$

где N_{sh} – количество шпуров на забой; L_{sh} – средняя глубина шпуров, м; S_{pr} – площадь поперечного сечения выработки в проходке, m^2 ; η - КИШ; $K_{i,c}$ - коэффициент излишка сечения; L_p – шаг установки крепи в выработке, м; S_{cb} – площадь поперечного сечения выработки в свету, m^2 ; m_p – число путей в выработке, шт.

1.5. Расчёт основных параметров проходческого цикла

При расчёте основных параметров проходческого цикла можно использовать несколько методик.

По первой методике продолжительность основных процессов определяется глубиной шпура, а параметры проходческого цикла рассчитываются, исходя из продолжительности рабочей смены или его части.

По второй методике исходной информацией для расчёта основных параметров проходческого цикла является месячная скорость проведения выработки.

По третьей методике используется пооперационное моделирование трудоёмкости проходческого цикла.

По четвёртой методике используется математическое моделирование эксплуатационной производительности проходческого оборудования, через которую определяют продолжительность основных процессов проходческого цикла.

На практике наибольшее распространение получила первая методика, при которой предполагается, что длительность проходческого цикла известна.

Трудоёмкость выполнения нормируемых процессов определяют по формуле:

$$W_i = V_i / H_{vyp,i}, \text{ чел.-смен,} \quad (11)$$

где V_i – объём работ i-го процесса на цикл; $H_{vyp,i}$ – сменная норма выработки при выполнении i-го процесса цикла.

Трудоемкость бурения шпуров:

$$W_b = V_b / H_b, \text{ чел.-смен,} \quad (12)$$

где V_b - объем работ на цикл по бурению шпуров (суммарная протяжённость всех шпуров по паспорту БВР), м; H_b - сменная норма выработки на бурение шпуров перфораторами или бурильными установками, м/чел.-смен;

Трудоемкость погрузки породы в вагонетки:

$$W_p = V_p / H_p, \text{ чел.-смен,} \quad (13)$$

где V_p - объем работ на цикл по погрузке отбитой горной массы погрузочной машиной (в пересчёте на объём в целике), m^3 ; H_p - сменная норма выработки на погрузку породы в целике, $m^3/\text{чел.-смен}$.

Трудоемкость крепления выработки:

$$W_{kp} = V_{kp} / H_{kp}, \text{ чел.-смен,} \quad (14)$$

где V_{kp} - объем работ на цикл по крепление выработки, рам (m^3); H_{kp} - сменная норма выработки на крепление выработки, рам(m^3)/чел.-смен.

Трудоемкость наращивания транспортных и силовых коммуникаций:

$$W_{tp} = V_{tp} / H_{tp} = L_{sh} \eta / H_{tp}, \text{ чел.-смен,} \quad (15)$$

где V_{tp} - объем работ на цикл по наращиванию транспортных и силовых коммуникаций, м; H_{tp} - сменная норма выработки на наращивание транспортных и силовых коммуникаций, м/чел-смен.

Трудоемкость устройства водоотливной канавки:

$$W_{bek} = V_{bek} / H_{bek} = L_{sh} \eta / H_{p.k} + L_{sh} \eta / H_{k.k}, \text{ чел.-смен,} \quad (16)$$

где V_{bek} - объем работ на цикл по устройству водоотливной канавки, м; $H_{p.k}$, $H_{k.k}$ - нормы выработки соответственно на разработку и крепление водоотливной канавки, м/чел-смен.

Суммарная трудоёмкость работ на проходческий цикл:

$$\Sigma W = W_b + W_p + W_{kp} + W_{tp} + W_{bek}, \text{ чел.-смен.} \quad (17)$$

1.6. Определение количественного и квалификационного состава бригады

Состав сменного проходческого звена определяют расчетным путем по объему выполняемых в течение смены работ и путем рациональной расстановки проходчиков в зависимости от профессии и квалификации.

Численный состав сменного звена по объему выполняемых работ определяют по формуле:

$$n = \frac{z \Sigma W}{k_n T_{sm}}, \text{ чел.,} \quad (18)$$

где z - число циклов в смену; $k_n = 1,1 \div 1,2$ - коэффициент предполагаемого перевыполнения проходчиками норм выработки; T_{sm} – продолжительность смены, ч (должна соответствовать продолжительности смены, указанной в нормах выработки).

Если n окажется дробным числом, то оно округляется до ближайшего меньшего целого числа n' .

Для дальнейших расчетов уточняют коэффициент перевыполнения норм выработки по формуле:

$$k_n = \frac{z \Sigma W}{n' T_{sm}}. \quad (19)$$

Состав проходческой бригады по профессиям и квалификации определяют в зависимости от принятых средств механизации основных процессов проходческого цикла и численного состава бригады, определенного расчётным путем.

Численный состав обслуживающих рабочих (электрослесари, откатчики, машинисты электровозов и др.), не входящих в комплексную проходческую бригаду, определяется расстановкой их на рабочих местах по необходимости.

1.7. Составление графика организации работ для буровзрывного способа проведения

График организации проходческих работ в забое (график цикличности) разрабатывается на основе расчётов продолжительности выполнения каждого процесса проходческого цикла и полной занятости всех рабочих звена в течение смены.

В состав работ проходческого цикла при проведении выработок буровзрывным способом входят нормируемые и ненормируемые процессы.

К ненормируемым операциям обычно относят:

- прием и сдачу смены (можно принимать $10 \div 15$ мин.) – $t_{\text{пр.сд}}$;
- заряжание шпуротов (можно принимать 2 мин. на один шпур) – $t_{\text{з.в}}$;
- взрывание шпуртов и проветривание забоя (можно принимать 30 мин) – $t_{\text{пр}}$;
- осмотр и приведение забоя в безопасное состояние после взрывания (можно принимать $15 \div 20$ мин.) – $t_{\text{б.с}}$.
- установка временной крепи (можно принимать $15 \div 20$ мин.) - $t_{\text{вр.кр}}$.

Суммарную продолжительность выполнения ненормируемых операций за цикл можно определить из выражения:

$$\sum_{i=1}^n t_{\text{нн}} = t_{\text{пр.сд}} + t_{\text{з.в}} + t_{\text{пр}} + t_{\text{б.с}} + t_{\text{вр.кр}}, \text{ мин.} \quad (20)$$

Выполнение ненормируемых процессов не совмещается во времени с выполнением нормируемых процессов.

Суммарную продолжительность выполнения нормируемых процессов проходческого цикла определяют по следующей формуле:

$$\sum_{i=1}^n t_{\text{нн}} = t_b + t_n + t_{\text{кр}} + t_{\text{н.т}} + t_{\text{вк}}, \text{ мин.} \quad (21)$$

где t_b , t_n , $t_{\text{кр}}$, $t_{\text{н.т}}$, $t_{\text{вк}}$ – продолжительность соответственно бурения шпуров, погрузки горной массы, крепления выработки, наращивания транспортных коммуникаций, устройства водоотводной канавки, мин.

Продолжительность выполнения нормируемых процессов проходческого цикла может определяться по их трудоёмкостям, а также по производительности горношахтного оборудования.

Затяжка боков и кровли выработки, устройство водоотводной канавки во всех случаях полностью совмещаются во времени с бурением шпуров, погрузкой породы и возведением крепи.

Нарашивание транспортных коммуникаций (рельсовых путей или конвейера) совмещается только с бурением шпуров.

Продолжительность выполнения нормируемых и ненормируемых процессов проходческого цикла по производительности горношахтного оборудования определяется по следующим зависимостям.

Продолжительность механизированного бурения шпуров

$$t_b = \frac{N_{\text{ш}} L_{\text{ш}}}{Q_3} + t_{\text{пз}}^b, \text{ мин,} \quad (22)$$

где Q_3 – эксплуатационная производительность бурильной установки (перфоратора), м/мин (см. лабораторную работу № 2); $t_{\text{пз}}^b = 30 \div 45$ – продолжительность выполнения подготовительно-заключительных работ, включая разметку шпуров, подгон и отгон установки, мин.

Продолжительность механизированного заряжания шпуров и взрываия

Продолжительность механизированного заряжания шпуров и взрывания определяется в следующей последовательности.

1. Продолжительность заряжания шпуров:

$$t_z = N_{\text{ш}} \left(\frac{L_{\text{ш}} t_{z'}}{0,4 S_{\text{пп}}} + \frac{\pi d_{\text{ш}}^2 K_{\text{пз}} (L_{\text{ш}} K_{\text{зш}} - 6 d_{\text{ш}})}{4 \pi r n_3 P_3} \right), \text{ мин,} \quad (23)$$

где t_3' - продолжительность заряжания 1 м шпура, мин; $d_{ш}$ – диаметр шпуро, м; $K_{пз}$ – коэффициент плотности заряжания, г/см³; $K_{зш}$ - коэффициент заполнения шпура; n_3 - число зарядных машин; P_3 - производительность зарядной машины, шпуро/мин.

2. Продолжительность выполнения вспомогательных операций:

$$t_{в.з} = N_{ш} t_{в.з}', \text{ мин,} \quad (24)$$

где $t_{в.з}' = 1,33$ - продолжительность выполнения вспомогательных операций при заряжании одного шпура, мин/шпур.

3. Продолжительность выполнения подготовительно-заключительных операций:

$$t_{пз} = 2 L_o / v_{зм}, \text{ мин,} \quad (25)$$

где L_o - длина откатки зарядной машины, м (можно принимать $L_o = 30$); $v_{зм}$ - скорость движения зарядной машины, м/мин.

4. Продолжительность продувки шпуро:

$$t_{пр} = N_{ш} t_{пр}', \text{ мин,} \quad (26)$$

где $t_{пр}'$ - время продувки одного шпура, мин (можно принимать $t_{пр}' = 0,3$).

5. Продолжительность взрывания шпуро:

$$t_B = 0,08 N_{ш} + t_{от}, \text{ мин,} \quad (27)$$

где $t_{от}$ - продолжительность отхода взрывника в укрытие, мин.

6. Общая продолжительность заряжания шпуро и взрывания:

$$T_{зв} = \frac{K_{рп}(t_3 + t_{в.з} + t_{пз})}{K_{отн}} + \frac{t_{пр} + t_B}{K_{отн}}, \text{ мин,} \quad (28)$$

где $K_{рп}$ - коэффициент, регламентирующий перерыв; $K_{отн}$ - коэффициент организационно-технических неполадок; $t_{пз}^3$ - продолжительность выполнения подготовительно-заключительных работ.

Продолжительность погрузки горной массы погрузочными машинами

Продолжительность погрузки горной массы погрузочными машинами условно разделяют на две фазы. В первой фазе погрузку горной массы (до 90 % общего её объёма) производят погрузочной машиной без применения ручной подкидки породы. Во второй фазе погрузки производят подкидку оставшейся породы с боков выработки к погрузочной машине и зачистку почвы в призабойном пространстве.

Расчёт продолжительности погрузки горной массы погрузочными машинами производится в следующей последовательности.

1. Продолжительность непосредственной погрузки горной массы:

$$t_{пм} = \alpha_v V K_p K_{kp} / Q_{тех}, \text{ мин,} \quad (29)$$

где $\alpha_v = 0,85 \div 0,9$ – доля объёма горной массы первой фазы; V – объём взрываемой горной массы в массиве, м³; K_{kp} – коэффициент, учитывающий крупность кусков горной массы и её физико-механические свойства (при крупности кусков более 400 мм $K_{kp} = 1,3$; менее 300 мм - $K_{kp} = 1,0$); техническая производительность погрузочной машины (см. лабораторную работу № 2).

2. Продолжительность перерывов при погрузке горной массы, связанных с заменой груженых вагонеток на порожние:

- при замене одиночных вагонеток:

$$t_{\text{пер}} = \frac{\alpha_p V K_p t_{3M1}}{V_B K_{3B}}, \text{ мин,} \quad (30)$$

- при погрузке горной массы с применением перегружателей:

$$t_{\text{пер}} = \frac{\alpha_p V K_p t_{3M2}}{V_B K_{3B} n_B}, \text{ мин,} \quad (31)$$

- при погрузке горной массы с применением конвейера: $t_{\text{пер}} = 0$,

где $t_{3M1} = 0,6 \div 1,2$ – продолжительность замены одиночной вагонетки, мин; V_B – объём вагонетки, м^3 ; $K_{3B} = 0,9$ – коэффициент заполнения вагонетки; $t_{3M2} = 1,2 \div 1,8$ – продолжительность замены состава вагонеток, мин; n_B – число вагонеток, установленных под перегружателем (определяется техническими возможностями перегружателя).

3. Продолжительность погрузки горной массы в первой фазе:

$$t_{n1} = \varphi (t_{pm} + t_{per}), \text{ мин,} \quad (32)$$

где $\varphi = 1,15 \div 1,2$ – коэффициент, учитывающий проведение подготовительно-заключительных работ, ремонт, смазку и другие простой машины, мин.

4. Продолжительность погрузки горной массы во второй фазе:

$$t_{n2} = \frac{(1-\alpha_p)V K_p \beta \phi}{n_p P_n}, \text{ мин,} \quad (33)$$

где $\beta = 0,6 \div 1,0$ - коэффициент, учитывающий одновременность подкидки горной массы и работы машины; $n_p = 2 \div 4$ – число рабочих, занятых на подкидке горной массы; $P_n = 0,8 \div 1,0$ – производительность одного рабочего на подкидке горной массы, $\text{м}^3/\text{ч}$.

5. Общая продолжительность погрузки горной массы:

$$T_n = t_{n1} + t_{n2}, \text{ мин.} \quad (34)$$

Продолжительность погрузки горной массы погрузочно-транспортными машинами

Расчёт продолжительности погрузки и транспортирования горной массы ПТМ производится в следующей последовательности.

1. Чистое время погрузки и транспортирования горной массы:

$$t_{cp} = S_{np} L_{wp} K_{wp} K_p / Q_{teh}, \text{ мин;} \quad (35)$$

Чистое время погрузки и транспортирования горной массы ПТМ (мин) можно также определить по эмпирической формуле, полученной НИПИГормашем для условий уборки и транспортирования горной массы кусковатостью от 200 до 600 мм при проведении горных выработок по породам с коэффициентом крепости $f = 10 \div 18$:

$$t_{cp} = \frac{1,05 S_{np} L_{wp} \eta (0,04f + 1,28)}{0,196 P_t^2 - 0,086 P_t - 0,06f - 0,22 L_{wp} \eta (0,04f + 1,28) + 1,39 \sqrt{L_{wp} \eta (0,04f + 1,28)} - 0,74}$$

где f - коэффициент крепости пород; P_t - техническая производительность ПТМ, $\text{м}^3/\text{мин.}$

2. Продолжительность выполнения вспомогательных операций:

$$t_{bc} = 1,05 S_{np} L_{sh} K_{sh} (0,04 f + 1,28) t_{bc}', \text{ мин, (36)}$$

где t_{bc}' - продолжительность выполнения вспомогательных операций при работе ПТМ на 1 м³ горной массы в разрыхлённом состоянии, мин/м.

3. Общая продолжительность погрузки и транспортирования горной массы:

$$T_p = \frac{K_{pp}}{K_{otn}} (t_{ch} + t_{bc} + t_{pz}), \text{ мин, (37)}$$

где K_{pp} - коэффициент, регламентирующий перерыв (можно принимать $K_{pp} = 1,05 \div 1,1$); K_{otn} - коэффициент организационно-технических неполадок (можно принимать $K_{otn} = 0,9 \div 0,95$); t_{ch} - чистое время погрузки и транспортирования горной массы, мин; t_{bc} - продолжительность выполнения вспомогательных операций (зачистка почвы выработки и подъездов к породоспуску), мин; t_{pz} - продолжительность подготовительно-заключительных операций, мин (можно принимать $t_{pz} = 40 \div 50$ мин).

Продолжительность возведения набрызгбетонной крепи

Продолжительность возведения набрызгбетонной крепи определяется в следующей последовательности.

1. Продолжительность нанесения набрызгбетона:

$$t_{nb} = \frac{L_{sh} \eta T_{cl} (K_s + S_{np} + 2,31)}{P_{nb}}, \text{ мин, (38)}$$

где T_{cl} - толщина слоя набрызгбетона, м; K_s - коэффициент, учитывающий площадь поперечного сечения выработки (K_s равен 1,17 и 0,97 для выработок соответственно площадью сечения до 10 м² и выше 10 м²); P_{nb} - производительность машины для возведения набрызгбетонной крепи, м³/мин.

2. Продолжительность выполнения вспомогательных операций:

$$t_{v.k} = L_{sh} t_{v.k}' + t_{z.b}, \text{ мин, (39)}$$

где $t_{v.k}'$ - продолжительность выполнения вспомогательных операций, связанных с креплением набрызгбетоном, мин; $t_{z.b}$ - продолжительность загрузки бункера, мин.

3. Продолжительность выполнения подготовительно-заключительных операций:

$$t_{pz} = 2 L_o / V_m, \text{ мин, (40)}$$

где L_o - длина откатки, м; V_m - скорость движения машины для возведения набрызгбетона, м/мин.

4. Продолжительность возведения набрызгбетонной крепи:

$$T_{vnb} = \frac{K_{pp} (t_{nb} + t_{v.k} + t_{pz})}{K_{otn}}, \text{ мин, (41)}$$

где K_{pp} - коэффициент, регламентирующий перерыв; K_{otn} - коэффициент организационно-технических неполадок.

На основании произведенных расчетов продолжительности и занятости рабочих на выполнении каждого процесса составляется график организации работ. В его левой части указываются объёмы работ на цикл, число одновременно занятых рабочих и продолжительность выполнения процессов. В правой части графика наносят продолжительность выполнения каждого процесса в виде отрезков в масштабе времени смены (суток).

График организации работ считается построенным правильно, если в любой момент времени заняты все проходчики сменного звена.

На рис. 1 показана технологическая схема проведения выработки буровзрывным способом, а на рис. 2 – соответствующий ей график организации работ.

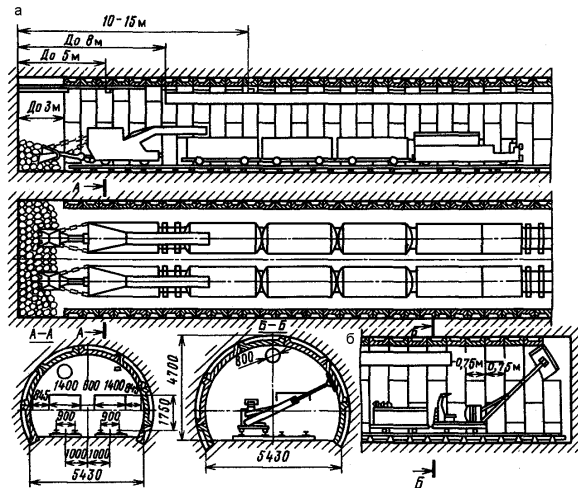


Рис. 1. Технологическая схема проведения двухпутевой выработки буровзрывным способом с применением двух бурильных установок, двух погрузочных машин и тюбинтовой крепи

Процессы и операции	Объем	Кол-во рабочих	Продолжительность	Смены и часы																				
				нарядов	рабочих	часов	1	2	3	4	5	6	7	8	9	10	11	12	13	14	15	16	17	18
Приём-сдача смены	-	7	- 10																					
Бурение шпуров	185	5	1 50																					
Разметка шпуров	78	2	- 10																					
Подгон бурильных установок	-	3	- 18																					
Управление уст-кой БУ-2	-	3	1 30																					
Управление уст-кой БУ-1	-	2	1 30																					
Очистка шпуров, шт	78	2	- 10																					
Отгон уст-ок БУ-1 и БУР-2	-	3	- 10																					
Взрывные работы	-	7	1 05																					
Заряжание и взрывание, шт.	78	6	- 35																					
Охрана зоны взрывания	-	1	- 35																					
Проветривание	-	-	- 30																					
Приведение забоя в безопасное состояние	-	3	- 10																					
Погрузка породы, м ³	53,4	7	3 30																					
Подгон погрузочных машин	-	4	- 10																					
Управление погрузочными машинами	-	2	2 50																					
Контроль за погрузкой	-	2	2 50																					
Маневровые работы	-	1-3	2 50																					
Укладка времялок	-	4	- 20																					
Отгон погрузочных машин	-	5	- 10																					
Возведение крепи	21	7-5	2 30																					
Установка предохранительной крепи	-	7	- 55																					
Установка тюбингов	-	4	1 35																					
Забивка пустот за крепью	-	1-5	1 05																					
Проверка напр-ния выр-ки	-	2	- 05																					
Нарачивание вентилей, труб	2,25	2	- 10																					
Укладка временного пути	4,5	2	1 40																					
Нарачивание труб скатого воздуха, водопровода	2,25	3	- 20																					
Устройство канавки	2,25	1-2	2 -																					

Рис. 2. График организации работ при проведении выработки буровзрывным способом

2. ПОРЯДОК ВЫПОЛНЕНИЯ РАБОТЫ

1. По имеющимся на кафедре альбомам изучить графики организации работ при проведении горизонтальных и наклонных выработок по различным технологическим схемам.

2. По заданным исходным данным с учётом полученных результатов при выполнении предыдущих лабораторных работ выбрать режим работы проходческого забоя.

3. Установить состав и объёмы выполняемых работ в забое.
 4. По справочнику определить нормы выработки при выполнении проходческих процессов цикла.
 5. Рассчитать трудоёмкости выполнения нормируемых проходческих процессов цикла.
 6. Рассчитать суммарную трудоёмкость выполнения нормируемых проходческих процессов цикла.
 7. Определить численный состав сменного звена по объему выполняемых работ.
 8. Рассчитать продолжительность выполнения нормируемых и ненормируемых процессов проходческого цикла.
- В случае отсутствия в справочнике норм выработка при выполнении какого-то проходческого процесса, его продолжительность следует рассчитать по производительности горношахтного оборудования.
9. Составить график организации работ (графика цикличности).
 10. Определить скорость походки выработки.
 11. Рассчитать трудовые затраты на проведение 1 м выработки и производительность труда проходчиков.